大阪沖埋立処分場洪積層の長尺ボーリングによる物理・圧密特性

大阪湾広域臨海環境整備センター 山之口 晴友

大阪湾広域臨海環境整備センター 平川 和之

> 大阪市港湾局 田中 利光

大阪大学大学院 正会員 小田 和広

> 応用地質 正会員 野並

1.はじめに

大阪湾フェニックス計画に基づく大阪沖埋立処分場(図-1)は廃棄 物による大荷重が基礎地盤に作用するため、地盤高管理や受入計画策 定のためには沖積粘性土層のみならず、その下部の洪積粘性土層の沈 下が問題となる。そこで本稿は掘進長 270m の調査ボーリングによる Ma9 層までの物理・圧密試験結果の概要を示すものである。

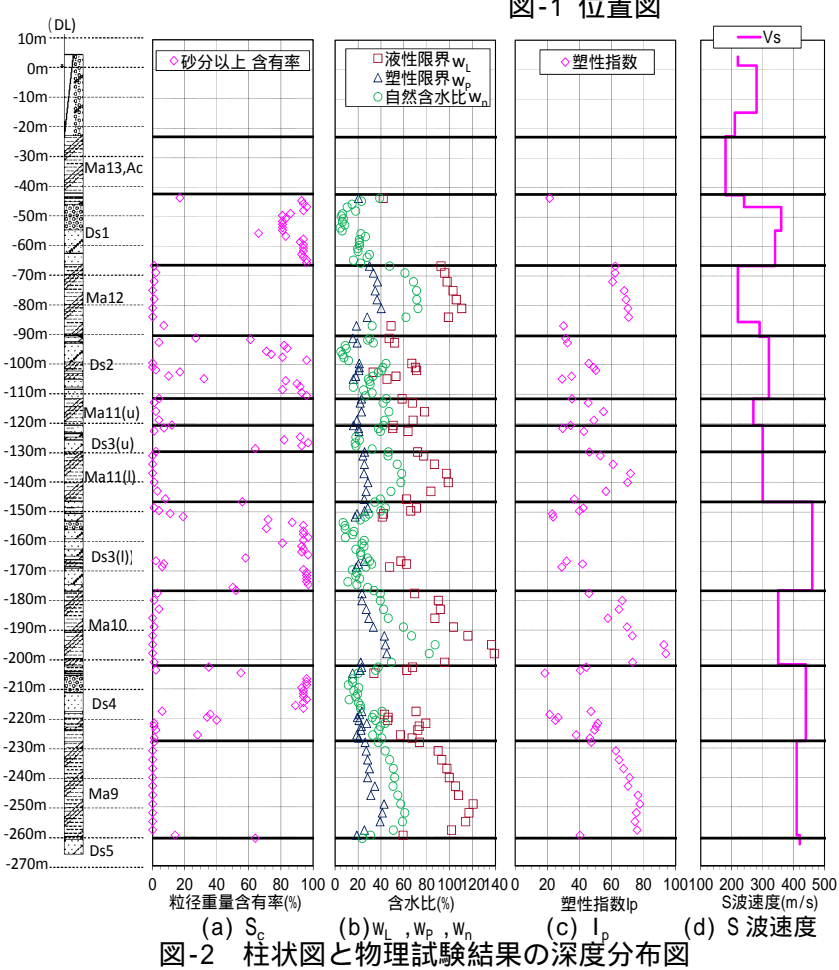
2.物理特性とS波速度分布

図-2、3 に柱状図と各種試験結果の深度 分布図を示した。海成粘性土層である Ma 層の層序は近傍土質調査結果 1)を参考に 設定している。ボーリングは処分場南西部 の護岸近傍の盛砂部で実施し、室内試験は -50m 洪積層以深の採取試料を対象とした。

物理特性の深度分布図を図-2 に示した。-80m 図-2(a)の砂分以上含有率S。は、Ma12層、 Ma9 層の下端と、Ma11(u)層、Ma11(l)層の -110m-上下端に若干の砂分混入が認められる。 Ma 層間の Ds 層は 80%を超えるものが多 く、粗粒土主体の層となっている。図-2(b) -160m-には液性限界 WL、塑性限界 WP と自然含水 -180m. 比 w_nを示した。w_L、w_P は細粒分が 50%を ^{-190m} 超える試料に対して求めている。Ma層の -210m 塑性限界は各層大差ないが、液性限界は -220m Ma11 層が他の Ma 層よりも小さく、Ma10 -240m. 層下部の液性限界の値が大きいのが特徴_{-260m} 的である。w_n は Ma 層の方が Ds 層よりも -270m. 概ね大きくなっており、Ds 層の wr は Ma 層よりも小さいことも含め Ds 層が粗粒土



図-1 位置図



主体で、比較的低塑性であることがわかる。図-2(c)には塑性指数 Ipを示した。深度方向分布を見ると、Mal1 層は層の中心で線対称となる弓形となっているのに対し、Ma12 層、Ma10 層、Ma9 層は層の下部で I_p の最大 値が現れることが特徴的である。また、Ma12層は、上位の Ds1層が堆積する際に上部を削剥したことが既往 調査により指摘されており $^{1)}$ 、上端の I_p が他のMa層よりも大きい。

キーワード 洪積層、海成粘性土層、深度分布、物理特性、圧密特性、S波速度 連絡先 〒532-0021 大阪市淀川区田川北 2-4-66 応用地質株式会社関西支社 TEL:06-6885-6357 図-2(d)のS波速度について、各Ma層は上下にあるDs層よりもやや速度が落ちる。 工学的基盤面とされるVs=400(m/s)を最初に超える層はDs3(1)層であるが、下位の層も連続するのはDs4層からであった。

3.密度・圧密特性

図-3(a)に湿潤密度 、を示した。密度検層の結果と乱さない試料による湿潤密度はよく整合しており、Ma層よりも Ds層の方が概ね大きい値を示し、ばらつきが大きい。

図-3(b)は圧縮指数 C_cを示した。塑性の -150m_{-160m} 小さい Mal1 層が他の Ma 層より C_cが小さ -170m く、塑性の大きい Mal0 層下部の C_cが大き -190m くなっており、一般的な粘性土と同様の傾 -200m -210m 向のあることがわかる。一方同程度の塑性 -220m である Mal2 層と Ma9 層では、Ma9 層の方 -230m がやや大きい。これは、年代効果が進んで -250m いる Ma9 層の方が P_cが正規圧密側に飛び出 -270m し、正規圧密領域の傾きの最大値が大きく なったためと考えられる。Ds 層の値は Ma

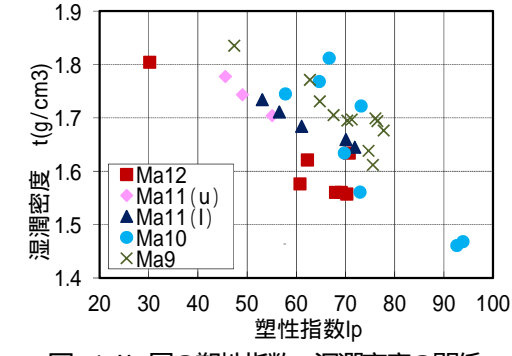
(DL) 不攪乱採取試料 0m □小幅段階載荷 初期有効土被り圧P0(kN/m2) 計画有効土被り圧P0+250(kN/m2) OCR=1.10 OCR=1.30 -30m OCR=1.50 /la13,Ac -40m 圧密試験は 2倍毎に載荷 重を増加させる小幅段階載荷 -50m 条件で実施している。 -60m -70m /la12 -80m -90m -100m 60 Ds3(u) -130m ۵۵ Ma11(I) -140m -150m Ds3(I) -170m 8 Ma10 -190m -200m -210m Ds4 Ma9 1.2 1.4 1.6 1.8 2 2.2 2.40 0.5 1 1.5 2 2.5 3 0 圧密降伏応力Pc(kN/m2) 圧縮指数Cc 湿潤密度 t(g/cm3) (b) C (c) P_c

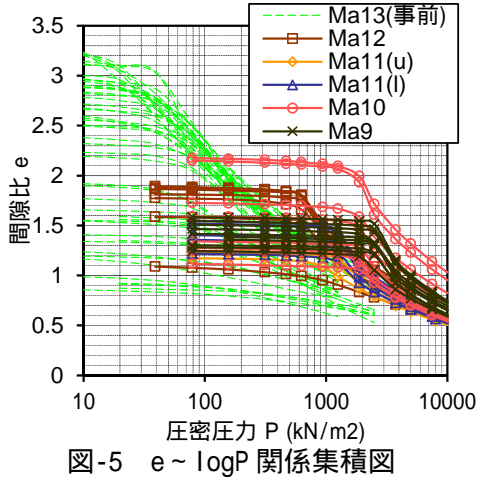
図-3 柱状図と密度・圧密試験結果の深度分布図

図-3(c)には圧密降伏応力 P_c を示した。図中には初期有効土被り圧 P_0 と P_0 の 1.1 倍、1.3 倍、1.5 倍に加え、計画有効土被り圧も併せて示している。これより、すべての Ma 層で P_c が P_0 を上回り見かけの過圧密状態にあることがわかる。一方、過圧密比 $OCR=P_c/P_0$ は下部の Ma 層の方が小さい。また Ma10 層は深度方向に P_c が増加せず、

層で得られた C。よりも概ね小さく、圧縮性は小さいといえる。

「が深度方向に減少する傾向が影響している可能性が指摘される。図-4には Ma 層の塑性指数 I_p ~ 湿潤密度 「の関係を示した。これより I_p が大きくなると 「は概ね小さくなっている。一方、同一の I_p では下部の Ma 層の方が 「は大きくなる傾向があり、下部の Ma 層ほど圧縮が進んでいると考えられる。図-5 には e ~ log P 関係集積図を示した。図中には Ma13 層の埋立前の結果も示している。これより、洪積層は沖積層よりも正規圧密領域の e ~ log P 関係が右側に位置しており、年代効果により P_c が大きくなっていることがわかる。また、正規圧密領域の e ~ log P 関係はかなり大きな応力域でも沖積層と洪積層は重ならず、洪積層間でも初期間隙比がほぼ同じ Ma12層、Ma11層と Ma9層では後者の正規圧密領域の e ~ log P 関係が右側に位置している。これより、深い Ma 層ほど年代効果による構造の影響が正規圧密領域においても残ることが示された。





まとめ:本稿では大阪沖埋立処分場の洪積 Ma 層の塑性と密度・圧密特性の関係と、圧密降伏応力と $e \sim \log P$ 関係に着目して整理を行い、また S 波速度分布についても示した。

参考文献:1)「新関西地盤 2007」、KG-NET・関西圏地盤研究会